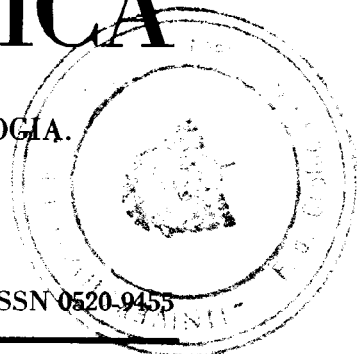




B R E V I O R A G E O L O G I C A A S T U R I C A

INSTITUTO DE GEOLOGIA APLICADA. FACULTAD DE GEOLOGIA.
UNIVERSIDAD DE OVIEDO (ESPAÑA)



AÑO XXVIII (1984) (Publ. 1986)

Núms. 3-4

ISSN 0520-9455

V. Horvath (*).—PALINOLOGIA DEL CARBONIFERO DE SANTOFIRME
(OVIEDO, N DE ESPAÑA).

INTRODUCCION

En las inmediaciones del monte Santofirme, 16 Km al SE de Oviedo, afloran 18 Km² de materiales de edad carbonífera, formando una estructura de sinclinal orientado NE-SW, recubiertos discordantemente por el Permo-Trías y por el Terciario de la Depresión de Llanera (Fig. 1). La serie está formada por una alternancia rítmica de lutitas y areniscas, con intercalaciones de carbón y algunos bancos calcáreos en su parte inferior. Veintinueve de los niveles de carbón, agrupados en ocho paquetes, son explotados por Minas de Villabona, S. A.

Pocos trabajos paleontológicos se han realizado en este Carbonífero. Habría que citar una lista de plantas dada por Zeiller (1882), utilizada posteriormente por Jongmans (1951), una identificación de bivalvos y gasterópodos de Almela y Ríos (1962) y un inventario de la fauna y de la flora encontrada por Llopis Lladó (1968).

RESULTADOS PALINOLOGICOS

Se han muestreado todos los niveles de carbón situados en el flanco W del sinclinal. Las muestras proceden en su gran mayoría de 4 sondeos llevados a cabo por ENADIMSA en 1982 y otras fueron recogidas en superficie en las explotaciones a cielo abierto de la mina y en los cortes del Arroyo Socavón y de La Tejera (Fig. 1).

Los carbones fueron atacados según el método de Schulze (30 cm³ de ácido nítrico concentrado y fumante más 4 gr de clorato potásico) durante 20

(*) Empresa Nacional Adaro de Investigaciones Mineras, S. A. (ENADIMSA). Manuscrito recibido el 11 de abril de 1986; revisado el 30 de junio de 1986.

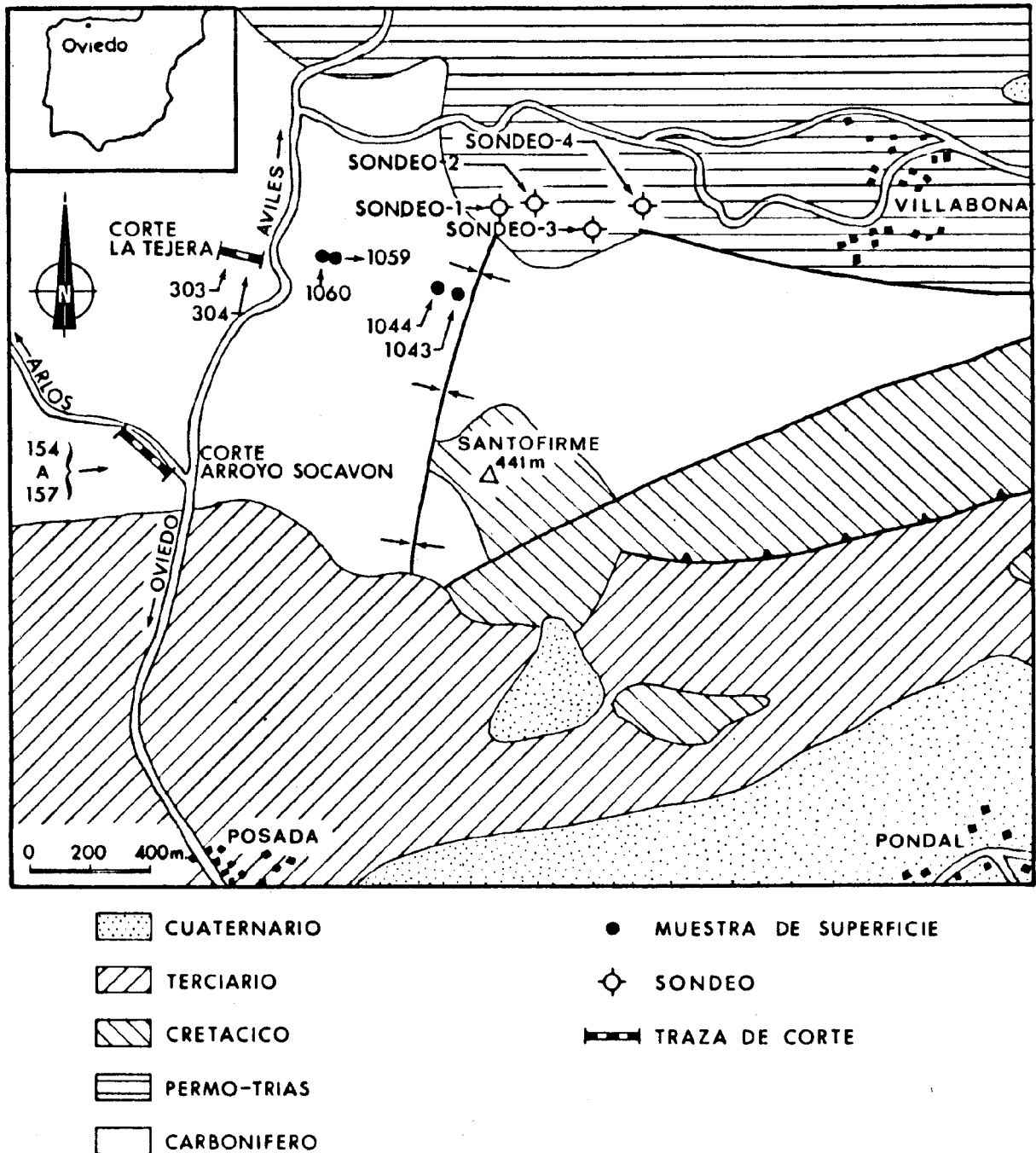


Fig. 1.-Mapa geológico esquemático, según Gervilla (1972) y Martínez Alvarez (1972), modificado: situación de sondeos, cortes y muestras de superficie.

minutos a temperatura ambiental; seguidamente se procedió a la solubilización de los humatos por un lavado con hidróxido potásico al 10 %. Algunas muestras tuvieron que ser tratadas previamente con ácido fluorhídrico al 40 %, durante 24 horas, debido a su alto contenido en sílice.

En su conjunto las muestras dieron una microflora muy abundante y generalmente bastante bien conservada. Sin embargo, en algunos niveles, especialmente en la parte inferior de la serie (corte del Arroyo Socavón), solo se recogió un número bastante limitado de individuos.

TABLA I

Columna estratigráfica (según ENADIMSA, informe interno)
y distribución de las formas más representativas

CORTES ESTUDIADOS	PRINCIPALES TAXONES	CORTES ESTUDIADOS	
		ESTUDIADOS	TAXONES
	Calamospora spp.		
	P. sinuatus		
	P. granifer		
	A. minor		
	P. pustulatus		
	C. armatus		
	R. fulva		
	D. bireticulatus		
	D. muricatus		
	C. bucculentus		
	C. superbus		
	L. noctuina		
	L. pusilla		
	L. rotunda		
	Densosporites spp.		
C. lorricatus			
R. striatus			
K. senradiatus			
R. carnosus			
R. polygonalis			
S. nux			
C. kosankei			
R. triangularis			
T. sirani			
A. guerickel			
A. beeleysensis			
R. magnificus			
V. costata			
V. tortuosa			
L. vulgaris			
Florinites spp.			
Disaccites non striatiffi			
S. ellipsoides			
DATAACION			
W E S T F A L I E N S E A			
NAMURIENSE SUP.			

ARENISCAS

LUTITAS

CALIZAS

C^o CARBONERO CARBON

La Tabla I y las Láms. 1 y 2 representan las principales microesporas encontradas; el número de formas ha sido reducido voluntariamente a las más frecuentes y, sobretudo, a las más significativas desde un punto de vista estrati-

gráfico, es decir, aquellas cuya determinación y distribución temporal es bien conocida. Otras formas han sido igualmente reconocidas pero en proporciones mínimas (< 1 %) y pertenecientes a géneros sin ningún interés estratigráfico, tales como: *Granulatisporites*, *Leiotriletes*, *Cyclogranisporites*, *Verrucosisporites*, *Apiculatisporis*, *Acanthotriletes*, *Lophotriletes*.

Lycospora pusilla es la forma más abundante, constituyendo en algunos casos el 75 % de los ejemplares; le siguen *Densosporites* spp. y *Calamospora* spp. *Laevigatosporites vulgaris* en los niveles inferiores de la serie representa sólo el 5 % de las esporas, pero a partir de la capa Reguerón su porcentaje aumenta alcanzando del orden del 15 %. *Raistrickia fulva*, *Dictyotriletes bireticulatus*, *D. muricatus*, *Lycospora rotunda*, *Cingulizonates loricatus*, *Crassispora kosankei*, *Ahrensisporites guerikei*, *A. beeleyensis*, *Remysporites magnificus* y *Florinites*

LAMINA 1

- Fig. 1.-*Punctatisporites sinuatus* (Artuz) Neves
Lam. 3-8, 15/12; sondeo 3, Aguila 4. X500
- Fig. 2.-*Calamospora liquida* Kosanke
Lam. 1044 bis, 07/32; Marta. X500
- Fig. 3.-*Lycospora pusilla* (Ibrahim) Somers
Lam. 1044, 11/08; Marta. X500
- Fig. 4.-*Lycospora rotunda* (Bharadwaj) Somers
Lam. 3-1, 10/31; sondeo 3, Aguila 1. X500
- Fig. 5.-*Lycospora noctuina* Butterworth y Williams
Lam. 2-1, 09/33; sondeo 2, Vena del Medio. X500
- Fig. 6.-*Anapiculatisporites minor* (Butterworth y Williams) Smith y Butterworth
Lam. 1044 bis, 18/41; Marta. X500
- Fig. 7.-*Convrrucosisporites armatus* (Dybova y Jochowicz) Smith y Butterworth
Lam. 1043, 05/62; Falsa Marta. X500
- Fig. 8.-*Densosporites anulatus* (Loose) Smith y Butterworth
Lam. 1044, 11/75; Marta. X500
- Fig. 9.-*Densosporites pseudoannulatus* Butterworth y Williams
Lam. 3-8, 14/11; sondeo 3, Aguila 4. X500
- Fig. 10.-*Cingulatonates loricatus* (Loose) Butterworth, Jansonius, Smith y Staplin
Lam. 1-2, 10/74; sondeo 1, Nobleza. X500
- Fig. 11.-*Radiizonates striatus* (Knox) Staplin y Jansonius
Lam. 3-8, 17/72; sondeo 3, Aguila 4. X500
- Fig. 12.-*Reticulatisporites carnosus* (Knox) Neves
Lam. 4-1, 15/50; sondeo 4, Tejera. X500
- Fig. 13.-*Reticulatisporites polygonalis* (Ibrahim) Smith y Butterworth
Lam. 2-1, 29/42; sondeo 2, Vena del Medio. X500
- Fig. 14.-*Alisporites* sp.
Lam. 1043, 27/21; Falsa Marta. X500
- Fig. 15.-*Potonieisporites* cf. *elegans*
Lam. 3-6, 12/08; Aguila 3. X500
- Fig. 16.-*Schopfipollenites ellipsoides* (Ibrahim) Potonie y Kremp
Lam. 4-1, espora aislada n23; sondeo 4, Tejera 1. X200
- Fig. 17.-*Ahrensisporites guerickei* (Horst) Potonie y Kremp
Lam. 157, 16/32; corte de Arlós. X500
- Figs. 18, 19.-*Ahrensisporites beeleyensis* Neves
18. Lam. 1060, 24/78; Alemanes. X500
19. Lam. 4-6, 12/57; Tejera 4. X500
- Fig. 20.-*Triquitrites sinani* Artuz
Lam. 157, 14/43; corte de Arlós. X500
- Fig. 21.-*Dictyotriletes bireticulatus* (Ibrahim) Smith y Butterworth
Lam. 1044, 12/31; Marta. X500
- Fig. 22.-*Savitrisporites nux* (Butterworth y Williams) Smith y Butterworth
Lam. 3-2, 26/78; Aguila 1. X500

